

УДК 539.3

© 1991 г.

А. Х. БАРАОВ, Б. Н. СОКОЛОВ

## О ПРЕДЕЛЬНОЙ ТОЧНОСТИ РАБОЧЕЙ ПОВЕРХНОСТИ ПАРАБОЛИЧЕСКОЙ АНТЕННЫ ЗОНТИЧНОГО ТИПА

При проектировании отражающих поверхностей (антенн, зеркал) больших размеров существенную роль играет обеспечение высокой точности конструкции при ее малом весе и простоте изготовления. В качестве критерия точности в радиотехнике рассматривается среднеквадратичное отклонение рабочей поверхности антенны от параболоида вращения. Представляет интерес оценка предельных возможностей различных типов конструкций с точки зрения этого критерия и выбор наилучшей из них. В работе рассмотрена математическая модель конструкции зонтичного типа и найдена предельно достижимая точность отражающей поверхности, ей соответствующей. Статья продолжает исследования различных способов оптимальной аппроксимации параболоида вращения поверхностью пленок и мягких оболочек [1–3].

**1. Постановка задачи.** Рассматривается математическая модель антенны зонтичного типа [4], рабочая поверхность которой в раскрытом состоянии представляет собой натянутое на каркас сетеполотно. Отражающая поверхность определяется профилем дуг каркаса, их количеством и компонентами тензора натяжения сетеполотна. Необходимо подобрать профиль дуг каркаса и компоненты натяжения сетеполотна так, чтобы наилучшим образом приблизить рабочую поверхность к параболоиду вращения с заданным фокусным расстоянием.

Рассмотрим анизотропную мембрану, находящуюся в равновесии под действием приложенных на бесконечности заданных сил  $N_x, N_y, T$ . Прямоугольную систему координат  $O_{xy}$  всегда можно выбрать так, чтобы сдвиговые силы обратились в нуль, поэтому в дальнейшем будем полагать  $T = 0$ . В результате прогибов, заданных на границе  $\Gamma$  некоторой области  $\Omega$  мембрана отклонится от нейтрального положения. В случае  $u \ll l$ , т. е. когда прогиб мал по сравнению с характерным размером области  $\Omega$ , уравнение равновесия мембранны принимает вид

$$N_x \frac{\partial^2 u}{\partial x^2} + N_y \frac{\partial^2 u}{\partial y^2} = 0 \quad (1.1)$$

Требуется определить прогиб на границе  $u(x, y)|_{\Gamma} = u_0(x, y)$  обеспечивающий минимум квадратичного функционала

$$\Phi(u_0) = \iint_{\Omega} [u(x, y) - f(x, y)]^2 d\Omega \quad (1.2)$$

где  $f(x, y)$  — заданная функция.

**2. Решение.** Замена переменных  $x' = x, y' = (N_x N_y^{-1})^{1/2} y$  переводит уравнение равновесия анизотропной мембранны (1.1) в уравнение Лапласа для области  $\Omega'$ , которая получается в результате растяжения (сжатия) области  $\Omega$  в направлении оси ординат в  $(N_x N_y^{-1})^{1/2}$  раз. Сохраняя прежние обозначения для новых переменных и новой области, будем в дальнейшем работать с уравнением Лапласа.

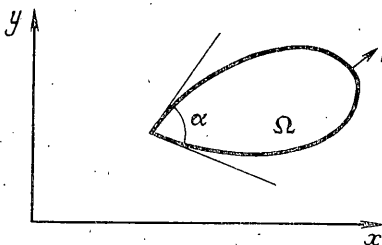
Допустим, что заданы прогибы  $u(x, y)|_{\Gamma}=u_0(x, y)$  на границе  $\Gamma$  новой области  $\Omega$ . Тогда имеем задачу Дирихле для уравнения Лапласа

$$\Delta u=0, \quad u|_{\Gamma}=u_0 \quad (2.1)$$

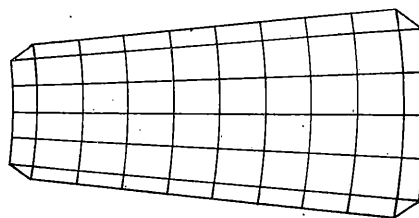
Приближенное решение задачи Дирихле может быть получено прямым методом граничных интегральных уравнений, согласно которому задача (2.1) сводится к следующему интегральному уравнению [5]:

$$(2\pi)^{-1}\alpha(x, y)u(x, y)+\int_{\Gamma} u(\xi, \eta)\psi(x, y, \xi, \eta)d\Gamma=\int_{\Gamma} v(\xi, \eta)\varphi(x, y, \xi, \eta)d\Gamma \quad (2.2)$$

где  $\alpha(x, y)$  — угол между левосторонней и правосторонней касательными в граничной точке  $x, y$ ,  $\varphi=(2\pi)^{-1}\ln(R^{-1})$ ,  $\psi=(2\pi)^{-1}\partial\ln(R^{-1})/\partial n$ ,  $R=$



Фиг. 1



Фиг. 2

$=[(x-\xi)^2+(y-\eta)^2]^{1/2}$ , перечеркнутый знак интеграла означает его главное значение.

Неизвестной величиной в уравнении (2.2) является нормальная производная  $v=\partial u/\partial n$ ,  $n$  — внешняя нормаль к границе области  $\Omega$  (фиг. 1). После решения интегрального уравнения прогиб в любой внутренней области  $\Omega$  находится простым интегрированием вдоль границы

$$u(x, y)=\int_{\Gamma} v(\xi, \eta)\varphi(x, y, \xi, \eta)d\Gamma-\int_{\Gamma} u(\xi, \eta)\psi(x, y, \xi, \eta)d\Gamma \quad (2.3)$$

Для нахождения приближенного решения интегрального уравнения (2.2) граница области разбивается на  $n$  прямолинейных отрезков, на каждом из которых прогиб берется постоянной величиной. Дискретный аналог интегрального уравнения (2.2):

$$\begin{aligned} {}^1/2u_i+\psi_{ij}u_j &= \varphi_{ij}v_j \quad (i, j=1, 2, \dots, n) \\ \varphi_{ij} &= \int_{\Gamma_i} \varphi(x_i, y_i, \xi, \eta)d\Gamma, \quad \psi_{ij} = \int_{\Gamma_i} \psi(x_i, y_i, \xi, \eta)d\Gamma \end{aligned} \quad (2.4)$$

где  $x_i, y_j$  — координаты середины  $i$ -го отрезка  $\Gamma_i$ .

Решение системы линейных алгебраических уравнений (2.4) представим в виде

$$v_i=a_{ij}u_j, \quad a_{ij}=\varphi_{ih}^{-1}({}^1/2\delta_{kj}+\psi_{kj}) \quad (2.5)$$

Приближенное значение прогиба в любой внутренней точке области  $\Omega$  получаем из (2.3) с учетом (2.5):

$$u(x, y)=(a_{ji}\varphi_j(x, y)-\psi_i(x, y))u_i=\chi_i(x, y)u_i \quad (2.6)$$

$$\begin{aligned} \varphi_i(x, y) &= \int_{\Gamma_i} \varphi(x, y, \xi, \eta)d\Gamma, \quad \psi_i(x, y) = \int_{\Gamma_i} \psi(x, y, \xi, \eta)d\Gamma \\ \chi_i(x, y) &= a_{ji}\varphi_j(x, y)-\psi_i(x, y) \end{aligned}$$

Теперь мы можем приступить к минимизации исходного функционала (1.2). Подставляя (2.6) в подынтегральное выражение в правой части (1.2) и интегрируя, получаем вместо функционала функцию многих переменных

$$\Phi(u_1, u_2, \dots, u_n) = \Omega_{ik} u_i u_k - 2\theta_i u_i + \text{const}$$

$$\Omega_{ik} = \iint_{\Omega} \chi_i(x, y) \chi_k(x, y) d\Omega$$

$$\theta_i = \iint_{\Omega} \chi_i(x, y) f(x, y) d\Omega, \quad \text{const} = \iint_{\Omega} f^2(x, y) d\Omega$$

Условие минимума функции  $\Phi(u_1, u_2, \dots, u_n)$ :

$$\partial \Phi / \partial u_i = \Omega_{ik} u_k - \theta_i = 0 \quad (i=1, 2, \dots, n) \quad (2.7)$$

Решение системы линейных алгебраических уравнений (2.7) завершает приближенную минимизацию исходного функционала (1.2).

**3. Пример.** В качестве примера рассмотрим изотропную мембрану в кольцевом секторе с углом раствора  $\gamma = \pi/12$ , внутренним радиусом  $r = 6$  м. и внешним радиусом  $R = 10$  м. Пусть задан параболоид вращения с фокусным расстоянием  $p = 12$  м.

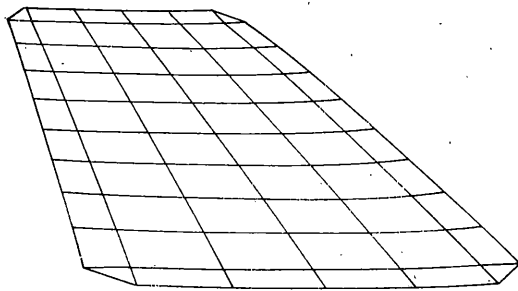
$$f(x, y) = (R^2 - x^2 - y^2) / 4p \quad (3.1)$$

Требуется выбором граничного прогиба мембранны минимизировать среднеквадратичное отклонение мембранны от поверхности параболоида.

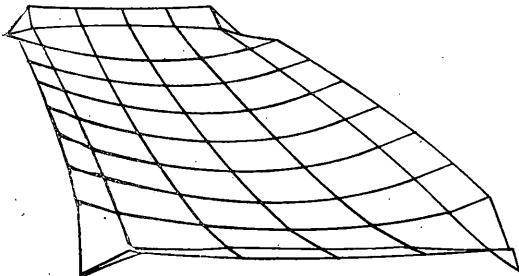
На фиг. 2 представлено разбиение границы кольцевого сектора на 28 прямолинейных отрезков и соответствующая такому разбиению сетка, выполненная на ЭВМ. На фиг. 3 изображена оптимальная форма поверхности мембранны, рассчитанная с помощью изложенного выше метода. Максимальное отклонение рассчитанной поверхности от параболоида вращения не превышает 0,032 м. Такое малое расхождение двух поверхностей трудно заменить визуально, поэтому на фиг. 4 дана увеличенная в десятикратном размере разность между поверхностями мембранны и параболоида.

В приведенном примере на вариации граничных прогибов накладывалось одно ограничение, а именно, прогибы вдоль каждой из дуг кольцевого сектора полагались постоянными.

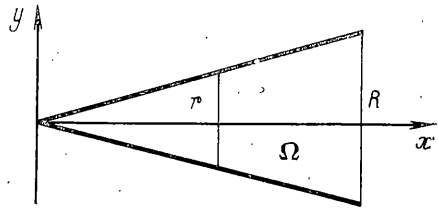
**4. Предельная точность.** Рабочая поверхность антены зонтичного типа в раскрытом состоянии имеет в каждой точке седлообразную форму, т. е. по меридиану она выпукла, а по окружности — вогнута. А поскольку параболоид есть двояковыпуклая поверхность, ясно, что наилучшее приближение параболоида достигается в предельном случае, когда кривизна мембранны в окружном направлении стремится к нулю. Другими словами, идеальным является анизотропная мембрана, сила натяжения которой в окружном направлении стремится к бесконечности по отношению к силе меридионального натяжения. Но на характер натяжения сетеполотна накладываются некоторые ограничения, связанные с прочностными и структурными свойствами сетки, и с необходимостью исключить образование ряби при натяжении сетки. Тем не менее задача оптимизации формы анизотропной мембранны в идеальном предельном случае представляет интерес. Дело в том, что этот предельный случай является элементарным и допускает точное аналитическое решение, которое может быть использовано как для тестирования вычислительной процедуры, так и для оценки достоверности получаемой экспериментальным путем величины среднеквадратичного отклонения поверхности сетки от параболоида. В конце статьи приводится пример подобного тестирования. Для упомянутого предельного случая анизотропной мембранны имеем  $N_x N_y^{-1} \rightarrow 0$ .



Фиг. 3



Фиг. 4



Фиг. 5

Возьмем, например, в качестве области  $\Omega$  равнобедренную трапецию (фиг. 5). Пусть приближаемая поверхность есть тот же параболоид вращения (3.1).

Если  $N_x N_y^{-1} = 0$ , то из уравнения равновесия (4.1) следует  $\partial^2 u / \partial y^2 = 0$ , т. е. искомая функция не зависит от  $y$  (ввиду ее симметрии по  $y$ ). Таким образом функционал (4.2) принимает вид

$$\Phi = \iint_{\Omega} \left[ u(x) - \frac{R^2 - x^2 - y^2}{4p} \right]^2 d\Omega \quad (4.1)$$

Введем обозначение

$$u_*(x) = u(x) - (R^2 - x^2)/4p \quad (4.2)$$

Функционал (4.1) перепишем в виде

$$\Phi = \iint_{\Omega} \left[ u_*(x) + \frac{y^2}{4p} \right]^2 dx dy$$

Интегрирование по  $y$  дает

$$\Phi = 2 \int_r^R x \operatorname{tg} \left( \frac{\gamma}{2} \right) \left[ u_*^2(x) + x^2 u_*(x) \operatorname{tg}^2 \left( \frac{\gamma}{2} \right) (6p)^{-1} \right] dx + \text{const}$$

Проварыровав последний функционал, получаем

$$u_*(x) = -x^2 \operatorname{tg}^2 (\gamma/2) / 12p \quad (4.3)$$

И, наконец, из (4.2) и (4.3) находим поверхность мембраны, доставляющую минимум функционалу (4.1):

$$u(x) = [3(R^2 - x^2) - x^2 \operatorname{tg}^2 (\gamma/2)] (12p)^{-1}$$

Среднеквадратичное отклонение найденной поверхности от параболоида вращения

$$\sigma = \left[ \Omega^{-1} \iint_{\Omega} \left[ 3y^2 - x^2 \operatorname{tg}^2 \left( \frac{\gamma}{2} \right) \right]^2 (12p)^{-2} d\Omega \right]^{1/2} \quad (4.4)$$

Вычисление (4.4) не представляет труда

$$\sigma = R^2 \operatorname{tg}^2 (\gamma/2) [1 + (r/R^2) + (r/R)^4]^{1/2} / 6p (15)^{1/2} \quad (4.5)$$

Полученное значение  $\sigma$  — предельная (неулучшаемая) точность для анизотропной мембранны.

В [6] описывается космическая антenna рассматриваемого типа диаметром 15 м и фокусным расстоянием параболоида 9,32 м. Поверхность сетки разделена на 24 клина. Из упомянутой статьи не ясно, какой мембраной — изотропной или анизотропной — производилось моделирование сетеполотна. Для среднеквадратичной погрешности формы поверхности, рассчитанной методом конечных элементов, авторы приводят значение  $\sigma = 0,18$  см, что в два с лишним раза меньше значения, получаемого по формуле (4.5) для предельно достижимой точности подобных антенн. Это говорит о том, что к численным результатам [6] следует относиться, по крайней мере, критически.

#### СПИСОК ЛИТЕРАТУРЫ

1. Banichuk N. V., Larichev A. D. Optimal design problems for curvilinear shallow elements of structures // Optimal contr., applic. and methods, 1984. V. 5. N 3. P. 197–205.
2. Соколов Б. Н. Оптимизация формы поверхности анизотропной пленки.// Изв. АН СССР. МТТ. 1986. № 5. С. 185–186.
3. Иванова В. Ф., Соколов Б. Н. Об оптимальной форме пологой мягкой осесимметричной оболочки.// Изв. АН СССР. МТТ. 1989. № 3. С. 160–166.
4. Гряник М. В., Ломан В. И. Развортыаемые зеркальные антенны зонтичного типа. М.: Радио и связь, 1987. 71 с.
5. Васидзу К. Вариационные методы в теории упругости и пластичности. М.: Мир, 1987. 542 с.
6. Беляев У. К., Эдигхоффер Г. Г., Херштром К. Л. Квазистатическое регулирование формы космической антennы диаметром 15 м.// Аэрокосмич. техника. 1990. № 2. С. 60–69.

Москва

Поступила в редакцию  
23.I.1990